

# EL NIÑO/OSCILACIÓN DEL SUR (ENSO, por sus siglas en inglés) DISCUSIÓN DIAGNÓSTICA

emitida por el

**CENTRO DE PREDICCIONES CLIMÁTICAS/NCEP/NWS**  
**y el Instituto Internacional de Investigación para el Clima y la Sociedad**  
**Traducción cortesía del: NWS-WFO SAN JUAN, PUERTO RICO**  
**10 de septiembre de 2020**

**Estatus del Sistema de alerta del ENSO: [Advertencia de La Niña](#)**

**Sinopsis: Las condiciones de La Niña están presentes y es probable que continúen hasta el invierno del hemisferio norte (~75% de probabilidad).**

En agosto, se presentaron condiciones de la Niña, con las temperaturas de la superficie del mar (SSTs, por sus siglas en inglés) por debajo del promedio que se extendían a través del centro y este del Océano Pacífico ecuatorial (Fig. 1). En la última semana, todos los índices del Niño fueron negativos, con el índice del Niño-3.4 a  $-0.9^{\circ}\text{C}$  y los índices del Niño-1+2 y Niño-3 más fríos que  $-1.0^{\circ}\text{C}$  (Fig. 2). Las anomalías en las temperaturas ecuatoriales subsuperficiales promediadas a través de  $180^{\circ}$ - $100^{\circ}\text{W}$  fueron negativas (Fig. 3), con las mayores desviaciones observadas en el este-central del Pacífico desde la superficie hasta 200 m de profundidad (Fig. 4). Las anomalías de la circulación atmosférica sobre el Pacífico tropical también fueron generalmente consistentes con La Niña, a pesar de la variabilidad sub-estacional durante el mes. Los vientos en niveles bajos y altos estuvieron cerca del promedio para todo el mes, pero vientos más fuertes del este en niveles bajos fueron prominentes en todo el Océano Pacífico ecuatorial durante principios y finales de agosto. La convección tropical permaneció suprimida sobre el oeste y centro del Pacífico, y estuvo cerca del promedio en Indonesia (Fig. 5). Tanto el índice de Oscilación del Sur como el de Oscilación del Sur Ecuatorial fueron positivos. En general, el sistema oceánico y atmosférico combinado fue consistente con las condiciones de La Niña.

La mayoría de los modelos IRI/CPC predicen la continuación de La Niña (índice Niño-3.4 menor a  $-0.5^{\circ}\text{C}$ ) durante el invierno del hemisferio norte 2020-21 (Fig. 6). El consenso de los pronosticadores respalda este panorama, y favorece un evento moderado cerca del límite (índice Niño-3.4 cerca de  $-1.0^{\circ}\text{C}$ ) durante la temporada alta de noviembre a enero. En resumen, las condiciones de La Niña están presentes y es probable que continúen durante el invierno del hemisferio norte (~75% de probabilidad; oprimir el [Consenso del Pronóstico de CPC/IRI](#) para acceder la probabilidad de cada resultado en periodos de 3-meses).

Esta discusión es un esfuerzo consolidado de la Administración Nacional Oceánica y Atmosférica (NOAA, por sus siglas en inglés), el Servicio Nacional de Meteorología de NOAA y sus instituciones afiliadas. Las condiciones oceánicas y atmosféricas son actualizados semanalmente en la página web del Centro de Predicciones Climáticas ([Condiciones actuales de El Niño/La Niña y La Discusión de Expertos](#)). De igual manera, los pronósticos son actualizados mensualmente en el [Foro de Pronóstico](#) del Boletín de Diagnóstico Climático del Centro de Predicciones Climáticas (CPC, por sus siglas en inglés). Perspectivas y análisis adicionales también están disponibles en el [blog del ENSO](#). La próxima Discusión Diagnóstica del ENSO está programada para el 8 de octubre de 2020. Para recibir una notificación por correo electrónico al momento en que la Discusión Diagnóstica del ENSO mensual esté disponible, favor enviar un mensaje a: [ncep.list.ens0-update@noaa.gov](mailto:ncep.list.ens0-update@noaa.gov).

Climate Prediction Center  
National Centers for Environmental Prediction  
NOAA/National Weather Service  
College Park, MD 20740

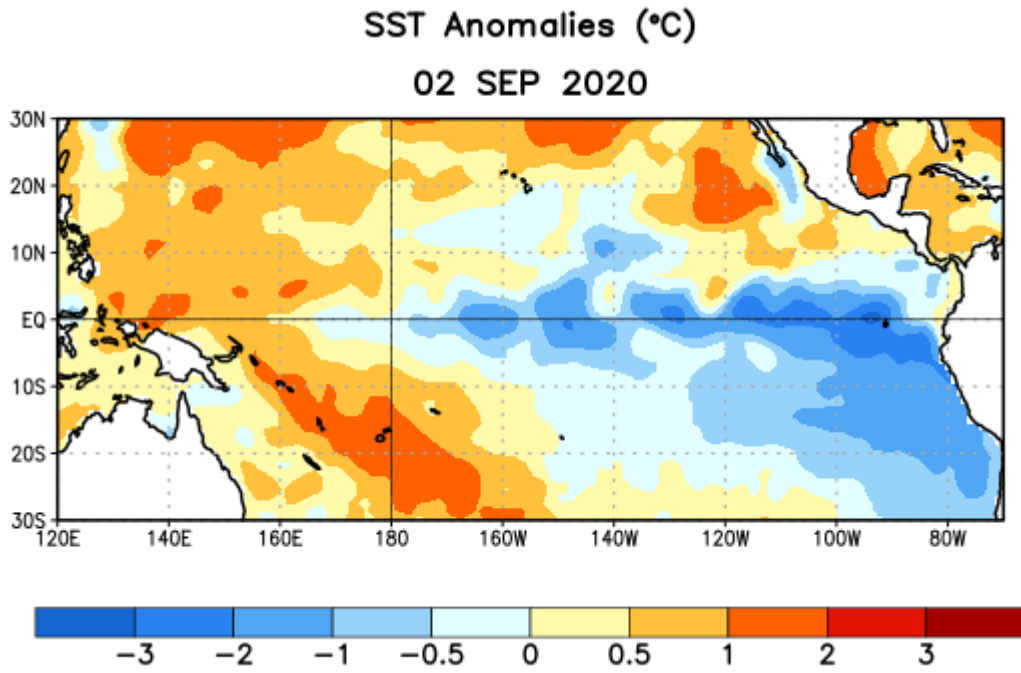


Figura 1. Anomalías (°C) promedio de la temperatura de la superficie del océano (SST, por sus siglas en inglés) para la semana centrada el 2 de septiembre de 2020. Las anomalías son calculadas utilizando como referencia los periodos promedio semanales de 1981-2010.

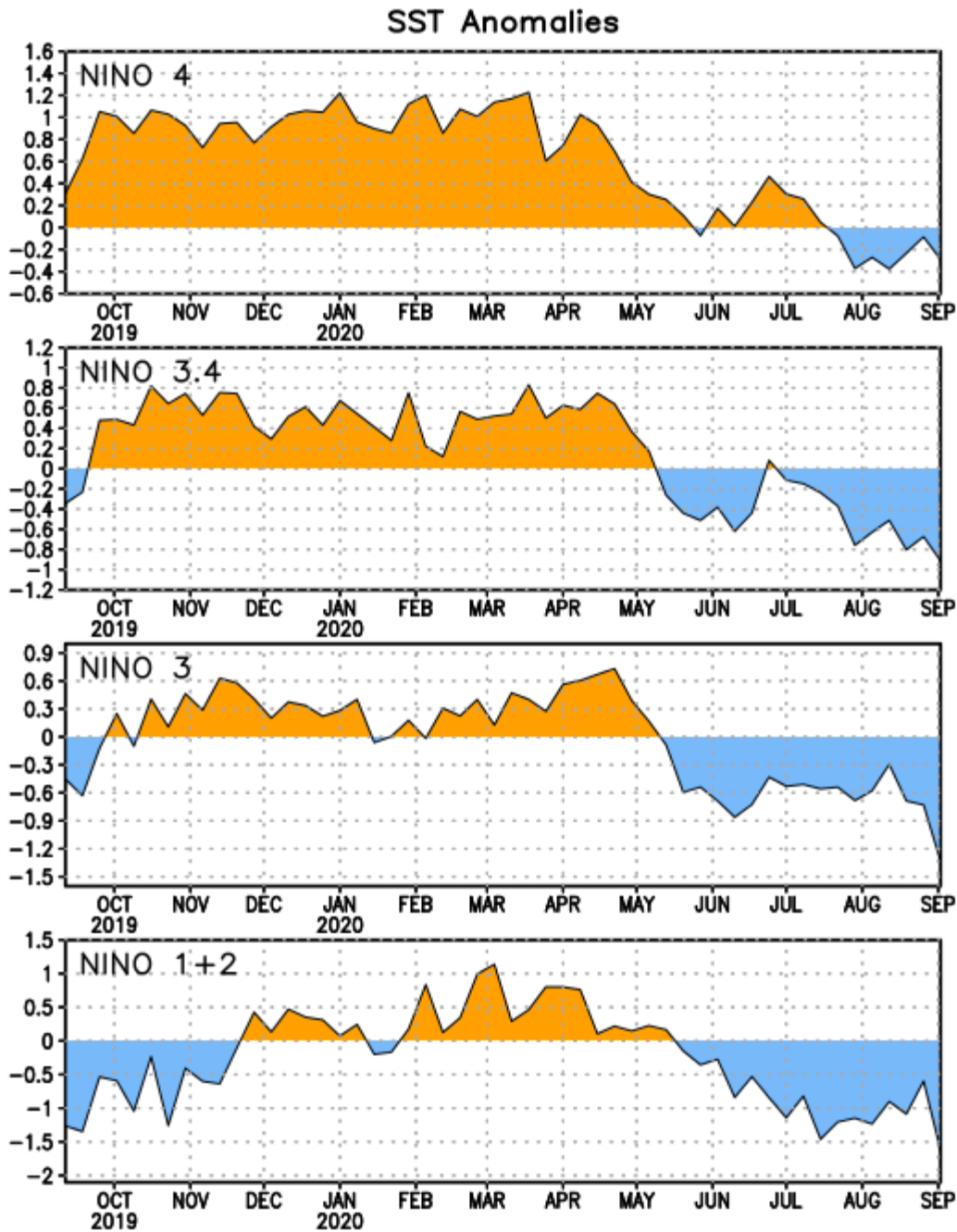


Figura 2. Series de Tiempo de las anomalías (en °C) de temperaturas de la superficie del océano (SST) en un área promediada en las regiones de El Niño [Niño-1+2 (0°-10°S, 90°W-80°W), Niño 3 (5°N-5°S, 150°W-90°W), Niño-3.4 (5°N-5°S, 170°W-120°W), Niño-4 (150°W-160°E y 5°N-5°S)]. Las anomalías de SST son variaciones de los promedios semanales del período base de 1981-2010.

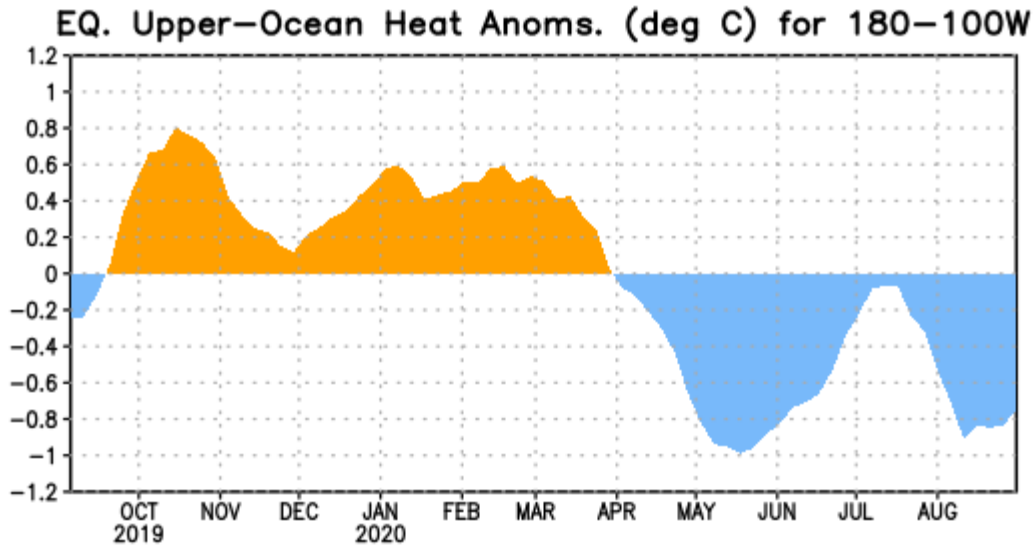


Figura 3. Anomalías del contenido calórico (en °C) en un área promediada del Pacífico ecuatorial (5°N-5°S, 180°-100°W). Las anomalías en el contenido calórico son calculadas como las desviaciones de los penta-promedios del período base de 1981-2010.

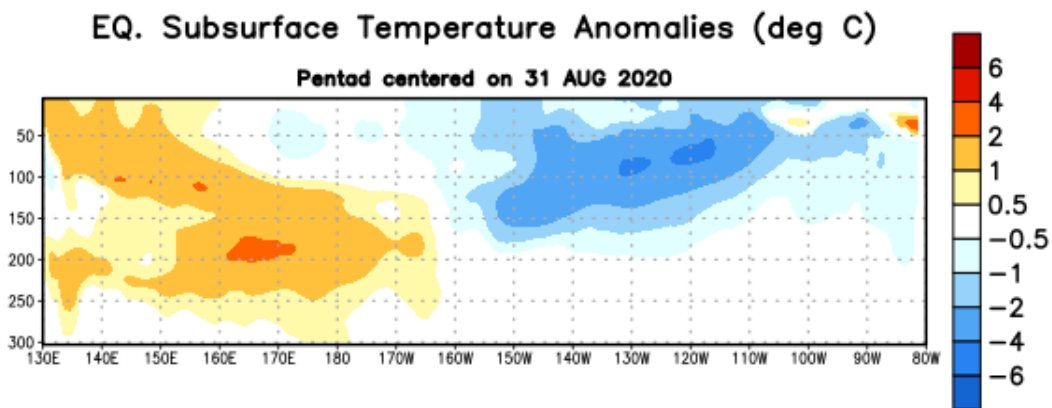


Figura 4: Anomalías de la temperatura (en °C) en un transecto de profundidad-longitudinal (0-300m) en la parte superior del océano Pacífico ecuatorial, centradas en la semana del 31 de agosto de 2020. Las anomalías son variaciones a partir de los penta-promedios durante el periodo base de 1981-2010.

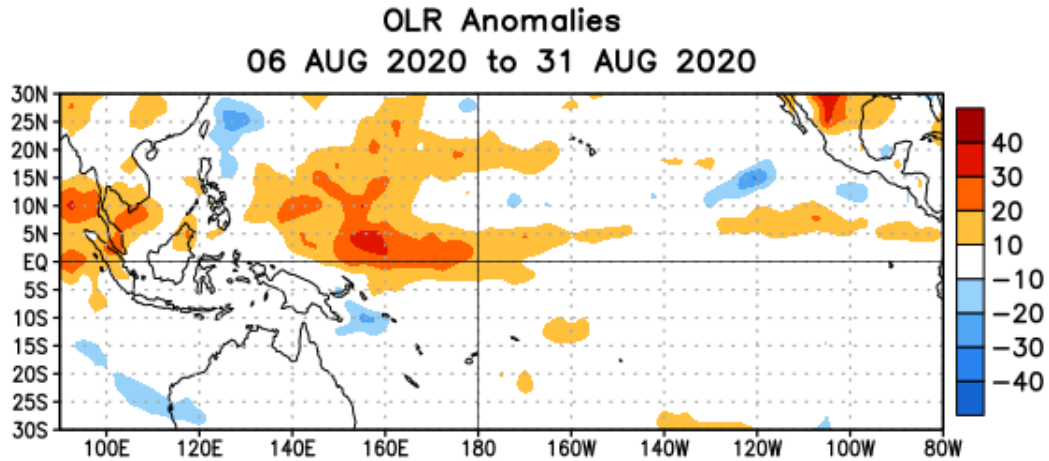


Figura 5. Anomalías del promedio de la radiación de onda larga emitida (OLR, por sus siglas en inglés) ( $W/m^2$ ) durante el período del 6 – 31 de agosto de 2020. Las anomalías de OLR se calculan como desviaciones de los penta-promedios del período base de 1981-2010.

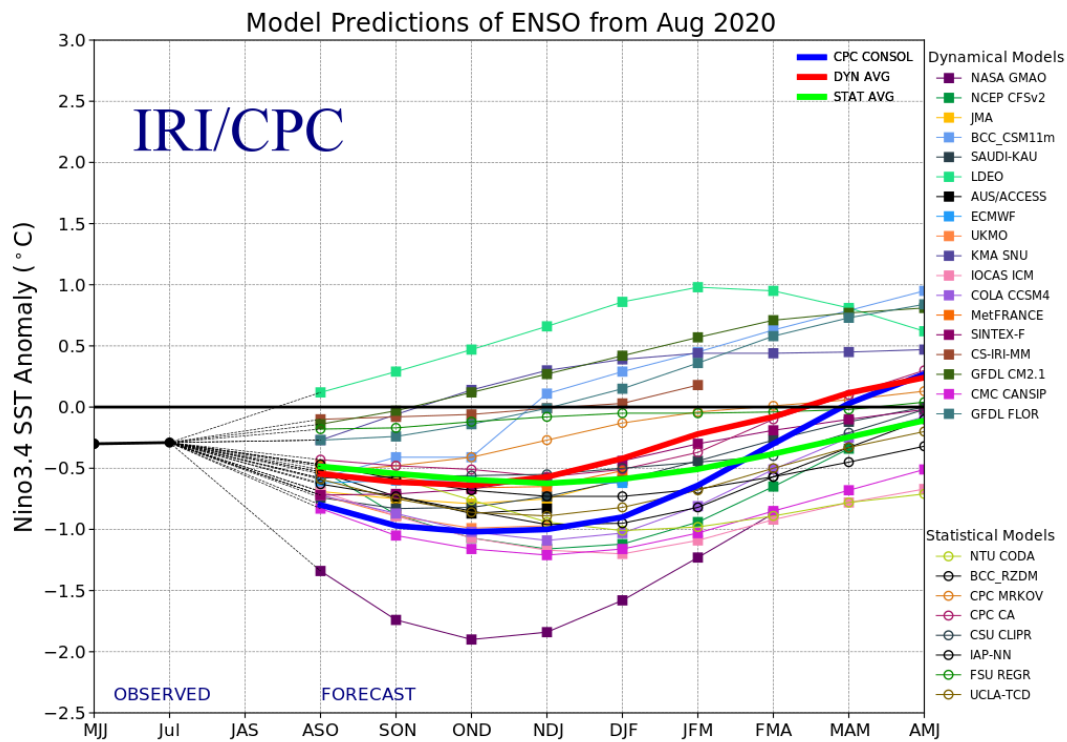


Figura 6. Pronósticos de las anomalías de la temperatura de la superficie del océano (SST) en la región de El Niño 3.4 ( $5^{\circ}N-5^{\circ}S, 120^{\circ}W-170^{\circ}W$ ). Figura actualizada el 19 de agosto de 2020.